

エルニーニョの熱力学 (2)

太平洋の水温を測る

El Niño Thermodynamics (2)

Sea water temperature measures in Pacific Ocean

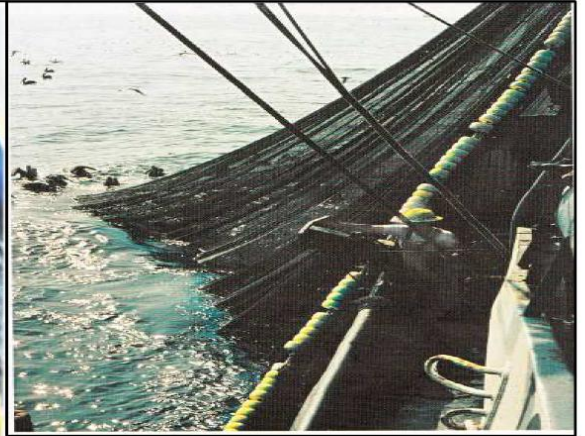
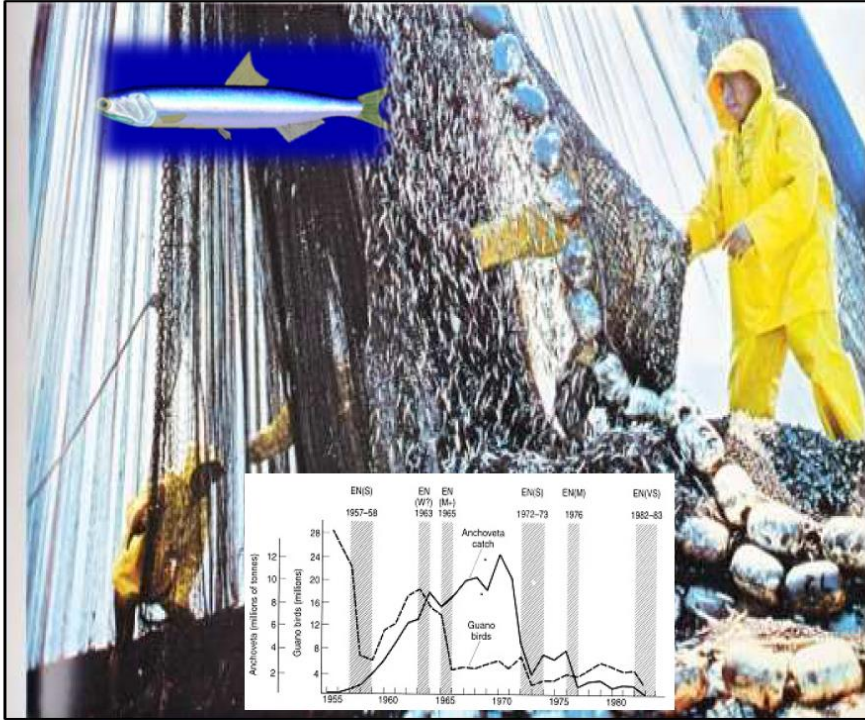


Fig.5 Anchovy fishery on the coast of South America Peru declined drastically with the El Niño phenomenon in 1972-73. This triggered El Niño · La Niña research mainly in Japan and the United States (Photo by E.M. Borgese,1976).

図 5. 南米ペルー沿岸のカタクチイワシ漁は、1972-73年のエルニーニョ現象で激減した。これを契機に日米を中心にエルニーニョ・ラニーニャ研究

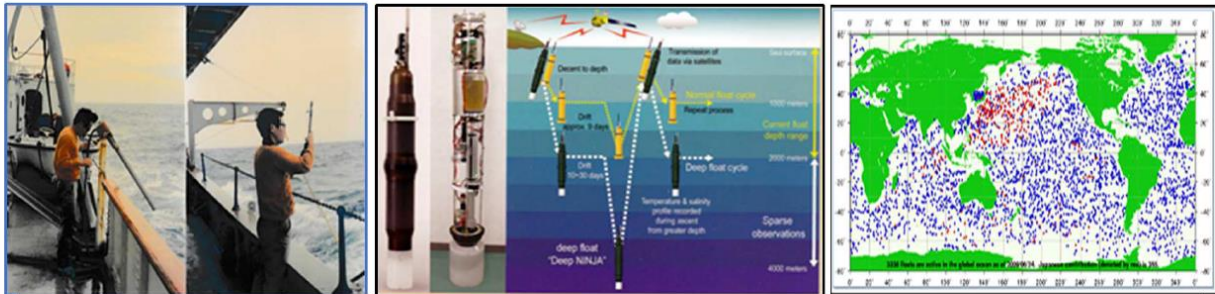


Fig.6 El Niño Research Points and Global Tropical Moored Bouy Array (Left) and XBT/SST measurements (center) and profiling Float Deep NINJYA, distributions of ARGO Float.

図 6. エルニーニョ現象等監視海域・ブイ配列図(左), XBT・SST 測温中の著者(中), 深海用プロファイリングフロート Deep NINJA (鶴見精機)のフロート・システムと約数千個の ARGO Float 分布(右).

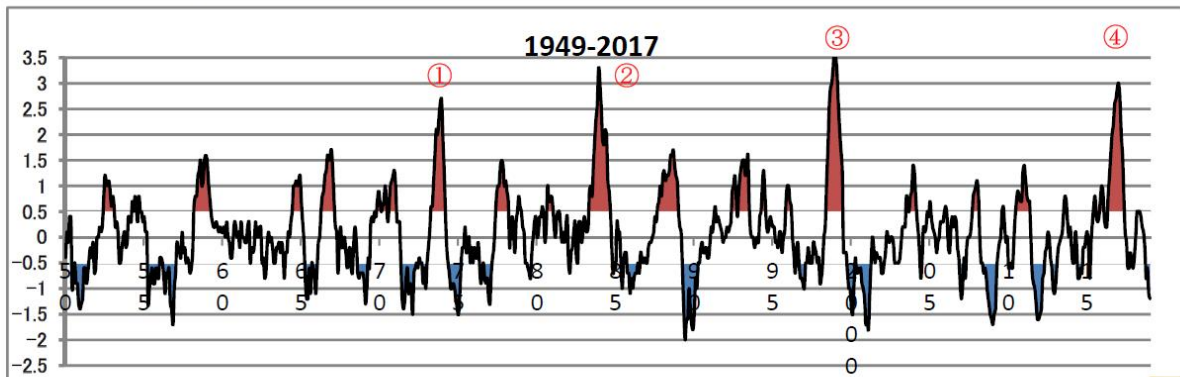


Fig.7 Records of Sea Surface Temperature Anomaly in 1949 to 2017; El Niño (red), La Niña (blue). El Niño Events in big four (①1972-73 ; ②1982-83 ; ③1997-98 ; ④2015-16) (Nakajin, 2018).

図 7. エルニーニョ(赤)・ラニーニャ(青)の海面水温偏差(SSTA) (NINO.3 ; 1949-2017年). エルニーニョ・イベント・ビッグ 4 (①1972-73 ; ②1982-83 ; ③1997-98 ; ④2015-16) (中



中陣隆夫 (東海大学)